



evropský
sociální
fond v ČR



EVROPSKÁ UNIE



MINISTERSTVO ŠKOLSTVÍ,
MLÁDEŽE A TĚLOVÝCHOVY



OP Vzdělávání
pro konkurenceschopnost

INVESTICE DO ROZVOJE VZDĚLÁVÁNÍ

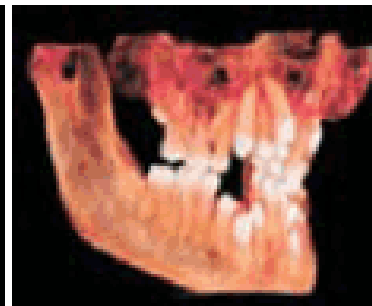
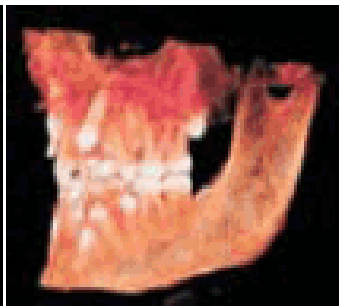
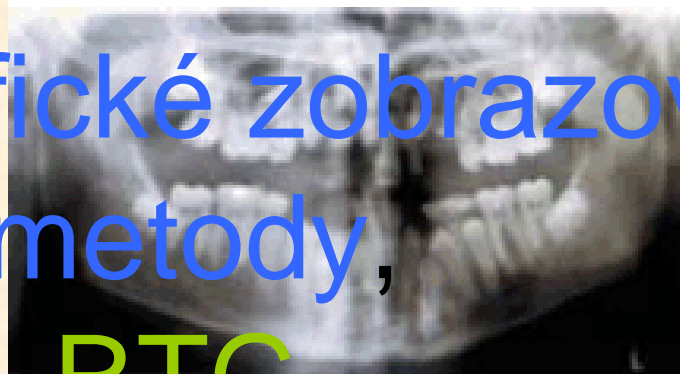
a, b

Tomografické zobrazovací metody,

RTG,

c, d, e

Lasery



Mgr. Naděžda Vašková
Biofyzikální ústav LF MU

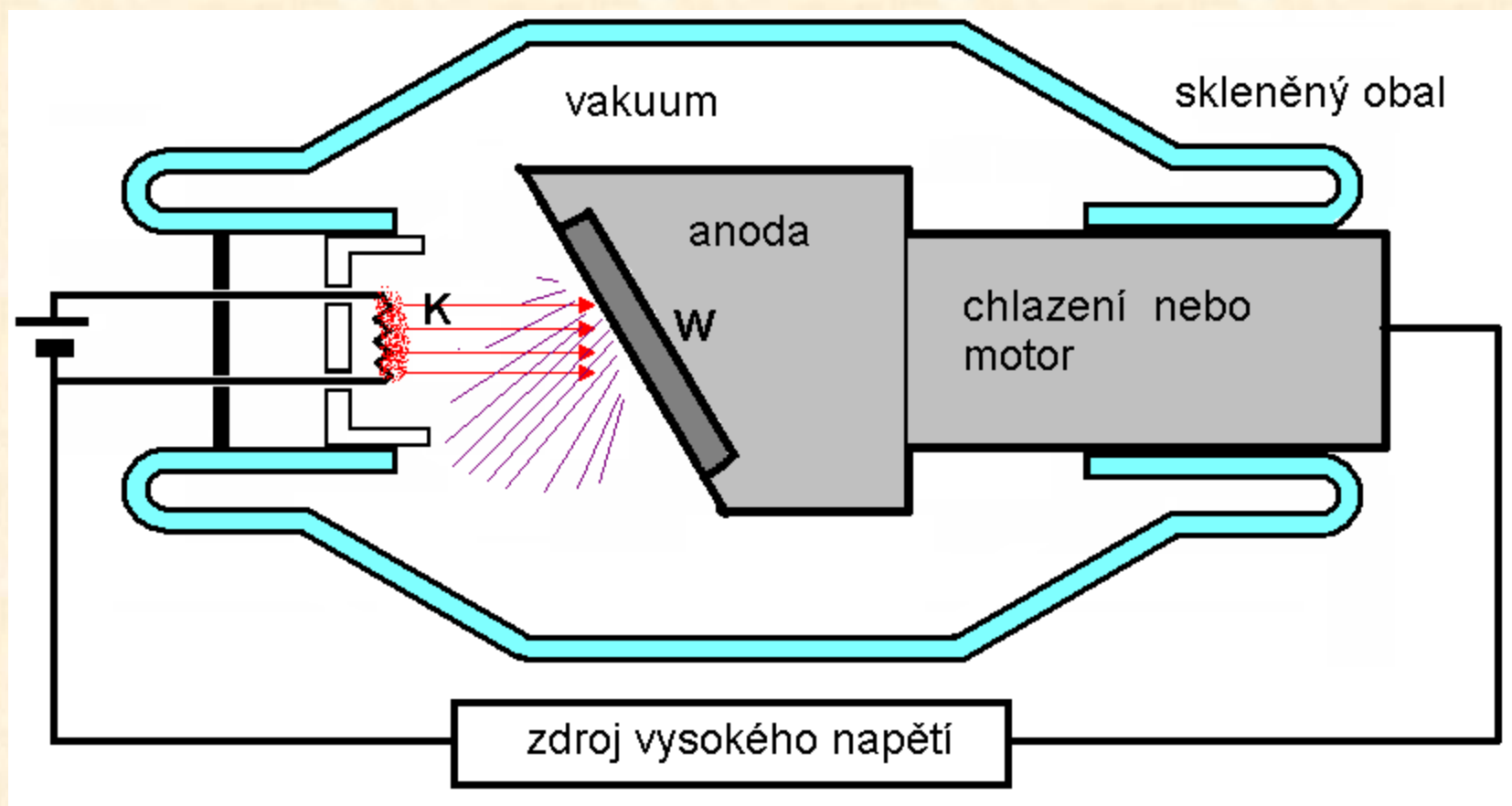
Obsah přednášky

- Vznik obrazu a kvalita obrazu
 - Projekční rentgenová zařízení
 - zdravotní rizika
 - CT
- (srovnání s MRI)

Rentgenové zobrazovací metody

- Rentgenové (rtg) zobrazovací metody patří stále mezi nejdůležitější diagnostické metody používané v medicíně. Poskytují především morfologickou (anatomickou) informaci – mohou však také poskytovat určité informace o funkčním stavu organismu.
- Jejich fyzikálním základem je různý útlum rentgenového záření v různých tkáních lidského organismu.
- Je důležité mít na paměti, že rtg záření může závažným způsobem ovlivňovat zdraví (vyvolávat např. rakovinu, zákal čočky) jak u pacientů tak i u zdravotnického personálu. Proto existují v oblasti ochrany před zářením přísná zákonná opatření s účelem zabránit zbytečnému poškozování jak pacientů tak i zdravotníků.

Vznik rentgenového záření – nízkovýkonová rentgenka používaná např. v zubních rentgenech



Schématický řez rentgenkou. K - žhavené vlákno katody, W - wolframová destička.

Vznik rentgenového záření

- Elektron s elektrickým nábojem e ($1,602 \cdot 10^{-19}$ C) v elektrostatickém poli o potenciálovém rozdílu (napětí, v tomto případě jde o napětí mezi anodou a katodou) U má **potenciální energii** E_p :

$$E_p = U \cdot e$$

- V okamžiku těsně před dopadem elektronu na anodu je jeho potenciální energie E_p zcela transformována v jeho **kinetickou energii** E_K . Platí:

$$E_p = E_K = U \cdot e = \frac{1}{2} m v^2$$

- Při dopadu je E_K transformována ve fotony rentgenového záření (méně než 1%) a tepelnou energii (99%). Toto teplo může rentgenku poškodit.

Energie svazku a napětí na rentgence

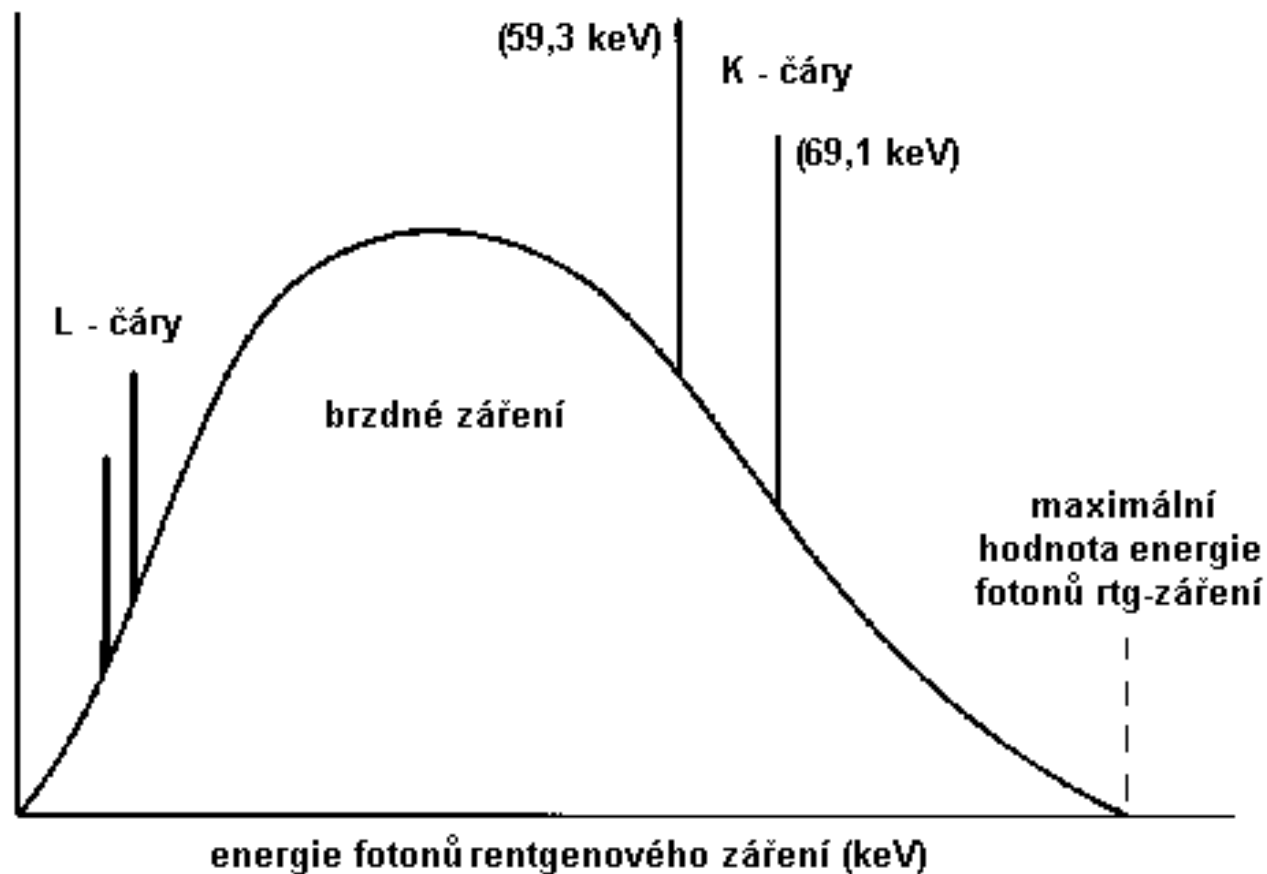
- Jestliže je veškerá kinetická energie urychleného elektronu transformována do **jediného** fotonu rentgenového záření, tento foton bude mít energii danou výrazem:

$$E = h.f = U.e$$

- Je to maximální energie emitovaných fotonů, přímo úměrná napětí U mezi anodou a katodou.
- **Chceme-li tedy zvýšit energii fotonů, postačuje zvýšit napětí mezi anodou a katodou!**
- Čím je vyšší energie fotonů, tím méně jsou zachycovány tělem – tím vyšší mají pronikavost. Je to zvlášť důležité, když snímkuje silné části těla nebo pacienty obézní!

Histogram energie fotonů

Počet
fotonů



Hlavní části rentgenového přístroje

➤ **Rengenska**

➤ **Generátor napětí a proudu:**

- **Vysokonapěťový transformátor** – poskytuje vysoké napětí (až 150kV)
- **Usměrňovač** - poskytuje stejnosměrný proud – zajišťuje jednosměrný pohyb proudu elektronů v rentgence.
- **Jestliže zvýšíme velikost proudu elektronů v rentgence** (změnou žhavení katody) **hustota toku fotonů** (počet fotonů procházejících jednotkovou plochou za sekundu) **svazku rentgenového záření vzroste** – nikoliv však energie jednotlivých fotonů.
- Energii jednotlivých fotonů můžeme zvýšit zvýšením napětí mezi anodou a katodou.

➤ **Ovládací pult** – v dnešní době je většina parametrů rentgenových přístrojů (včetně napětí a proudu) ovládána prostřednictvím počítače. Pult je umístěn mimo vyšetřovací místnost nebo za štítem vyrobeným z olovnatého skla (pro ochranu radiologických asistentů).

➤ Hlavní **mechanické části**: stojan s rentgenkou, vyšetřovací stůl, Buckyho clona odstraňující rozptýlené fotony.

Detektory rentgenového záření: kazeta s rtg filmem a přiléhajícím fluorescenčním stínítkem (**při skiagrafii**) nebo zesilovač obrazu (obojí na ústupu) nebo plošný digitální snímač (**při skiaskopii**).

Průchod rtg záření tělem pacienta

- Rentgenové záření vycházející z malé **ohniskové plošky** anody se šíří všemi směry. Ve skleněné stěně rentgenky se některé fotony s nízkou energií absorbují. K další absorpci těchto fotonů dochází v **primárním filtru**, jenž je vyrobený z hliníkového plechu. Zde absorbované fotony o nízké energii by jinak byly pohlceny povrchovými tkáněmi a nepřispívaly by ke tvorbě obrazu (zbytečné ozařování pacienta). Svazek rtg záření je vymezen obdélníkovými **kolimátorovými deskami** vyrobenými z olova.
- Záření pak prochází tělem, kterým buď může projít nebo je v něm absorbováno či rozptýleno. Pak prochází **Buckyho clonou** umístěnou před detektorem, aby zachycovala rozptýlení fotony, které by jinak jen zhoršovaly kvalitu obrazu.

Vznik obrazu a kvalita obrazu

- Rentgenový snímek je analogií „stínu“ vrženého poloprůhledným vnitřně strukturovaným tělesem, které je osvětleno světelným svazkem přicházejícím od téměř bodového zdroje. Obraz vzniká různým **útlumem** svazku v různých tkáních těla a projekcí těchto struktur na film či jiný detektor rtg záření.
- Obraz lze zviditelnit pomocí
 - **Rentgenového filmu/stínítka** a jeho následného vyvolání (při skiagrafii)
 - **Digitálního plošného snímače obrazu** umožňujícího vytvořit obraz na obrazovce PC monitoru (při skiaskopii)
 - **Zesilovače obrazu** a digitální CCD kamery spojené s monitorem (při skiaskopii)

Útlum záření

Svazek rentgenového záření (jakéhokoliv záření) prochází látkou:

$$\text{absorpce} + \text{rozptyl} = \text{útlum}$$

Malý pokles intenzity záření $-dI$ v tenké vrstvě látky je úměrný její tloušťce dx , intenzitě I záření dopadajícího na vrstvu a specifické konstantě μ :

$$-dI = I \cdot dx \cdot \mu$$

Po úpravě:

$$dI/I = -dx \cdot \mu$$

Po integraci:

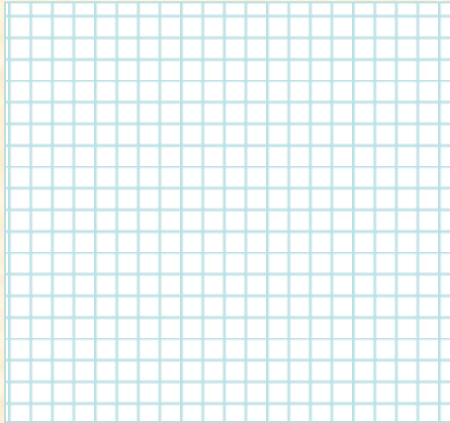
$$I = I_0 \cdot e^{-\mu \cdot x}$$

I je intenzita záření prošlého vrstvou o tloušťce x , I_0 je intenzita dopadajícího záření, μ je **lineární koeficient útlumu** [m^{-1}] závislý na druhu záření, na prostředí a jeho hustotě.

Kazety pro rentgenový film



Digitální plošné snímače obrazu

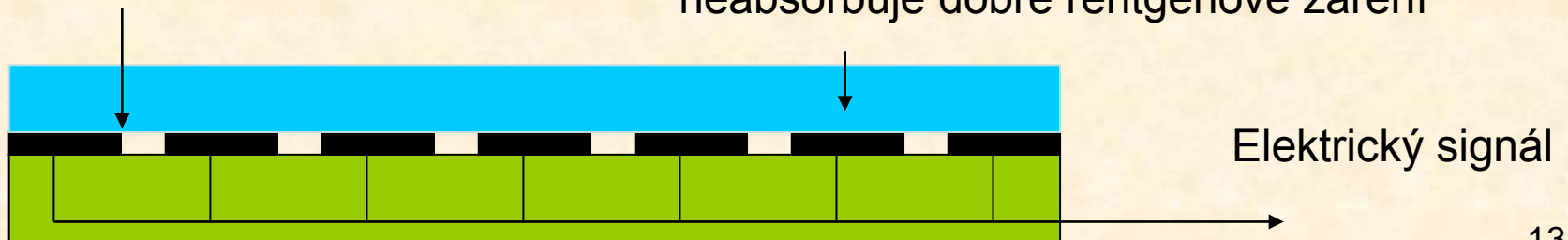


Plošný snímač obrazu je složen z řady velmi malých senzorů.

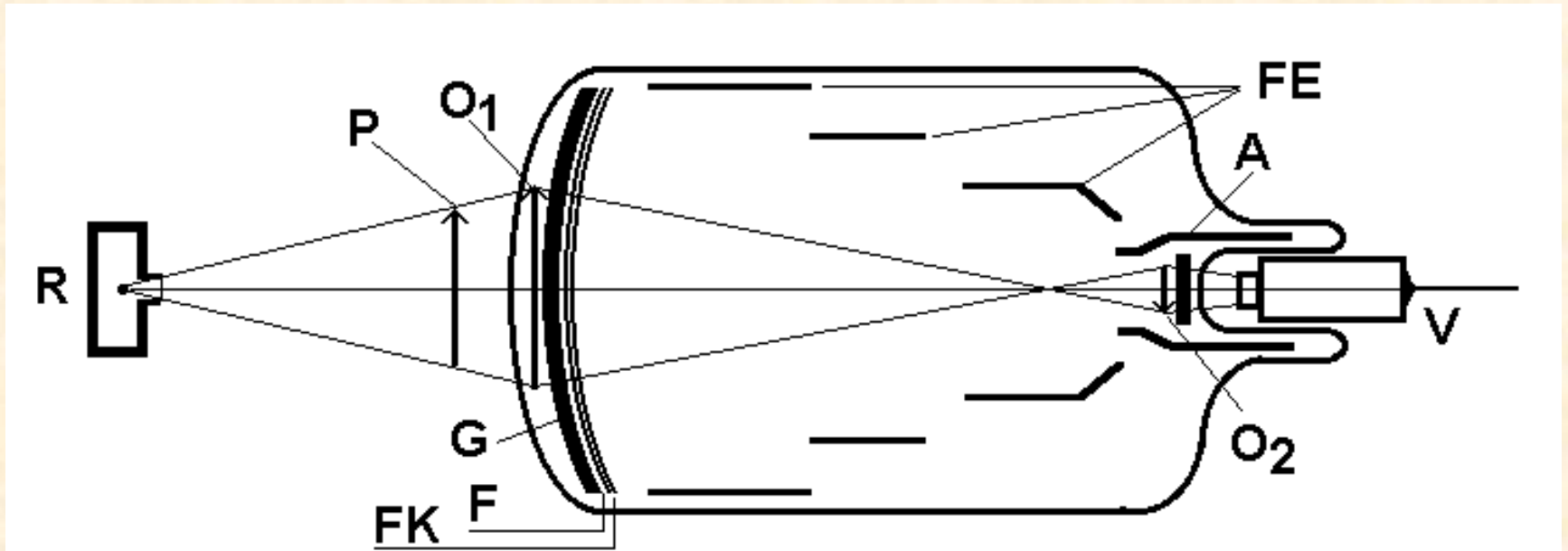
Digitální Buckyho clona

Fotodiodové světelné senzory z amorfního křemíku (aSi)

Luminiscenční vrstva CsI (nutná pro snížení patientské dávky, protože aSi neabsorbuje dobře rentgenové záření)



Zesilovač obrazu



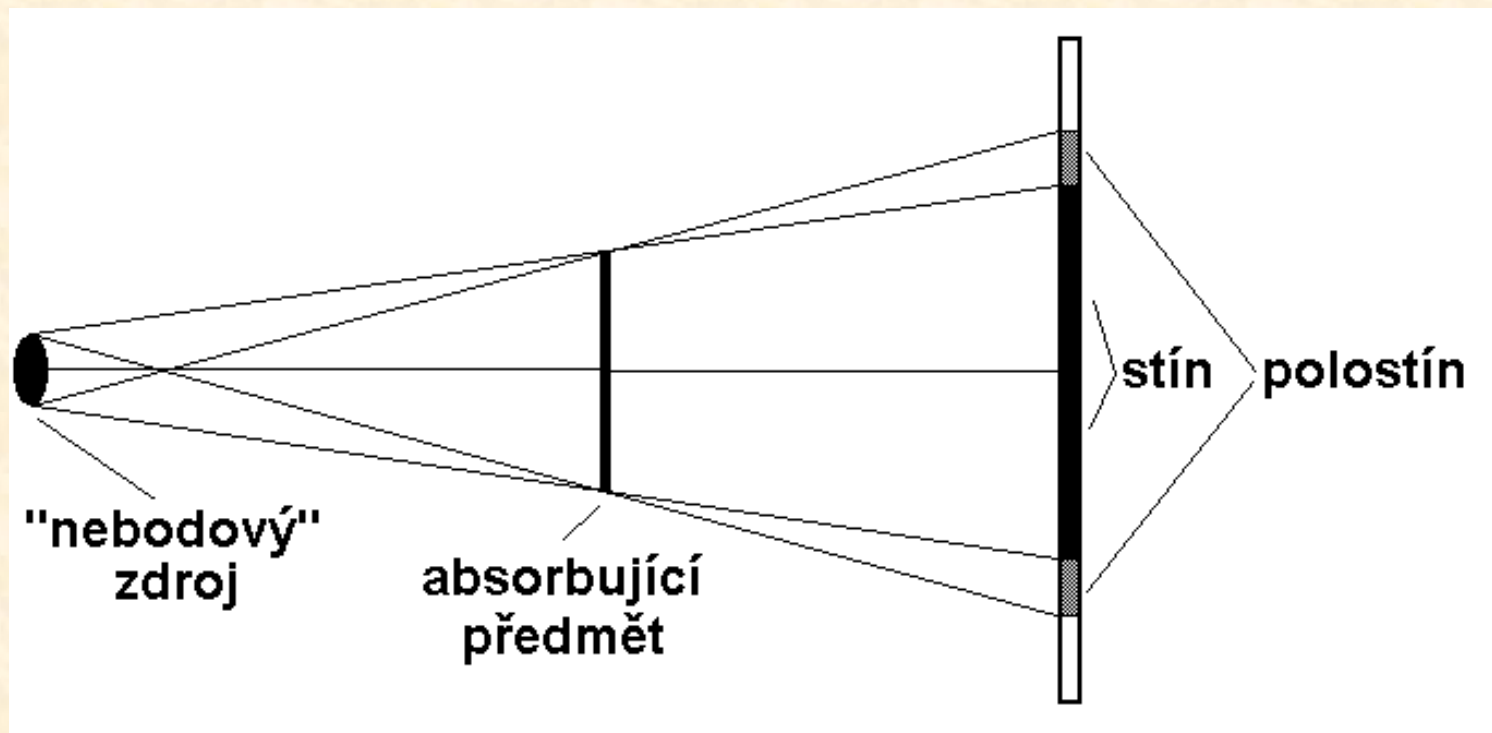
R – rentgenka, P - pacient, O₁ – primární obraz na fluorescenčním stínítku, G – skleněný nosič, F – fluorescenční stínítko, FK - fotokatoda, FE – fokusující elektrody (elektronová optika), A - anoda, O₂ – sekundární obraz na stínítku anody, V – videokamera. Jednotlivé části nejsou zobrazeny proporcionálně.

Neostrost obrazu

Žádný radiogram (rentgenový snímek) není absolutně ostrý. Rozhraní mezi tkáněmi se zobrazují jako postupná změna odstínu šedi. Tato neostrost (rozmazání) má několik příčin:

- 1) **Pohybová neostrost** – náhodné pohyby, dýchání, pulsové vlny, srdeční akce atd. Lze ji omezit kratšími expozičními časy za použití intenzivnějšího rentgenového záření.
- 2) **Geometrická neostrost (polostín)** je způsobena plošným charakterem ohniska anody (ohnisko není bod). Paprsky dopadají na rozhraní mezi různě absorbujícími prostředími pod různými úhly, což způsobuje rozmazání jejich obrysů.
- 3) Světlo emitované fluorescenčními stínítky přiloženými k filmu nebo digitálnímu snímači neosvětluje jen odpovídající část filmu nebo snímače, nýbrž se šíří i do blízkého okolí.

Geometrická neostrost (polostín)



Geometrická neostrost může být omezena:

- volbou malé ohniskové plošky (zvyšuje se však riziko poškození anody přílišným ohřevem)
- zmenšením vzdálenosti mezi pacientem a detektorem
- zvětšením vzdálenosti mezi rentgenkou a pacientem

Interakce fotonů rtg záření s látkou:

ABSORPCE fotoelektrickým jevem (FE)

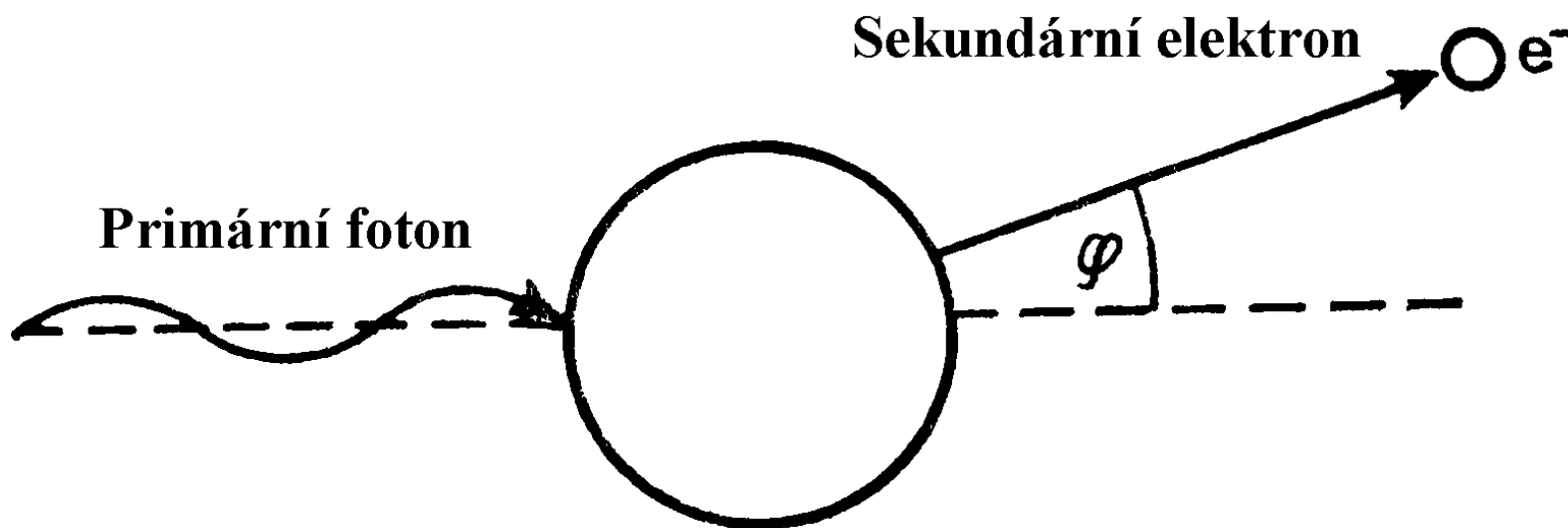
- Foton je absorbován při srážce s atomem a jeden elektron je vyražen z některé vrstvy elektronového obalu (typicky K-vrstvy). Část energie elektronu $h.f$ je nutná pro ionizaci. Zbývající část energie fotonu se mění v **kinetickou energii** ($1/2m.v^2$) vyraženého elektronu. Vyražené elektrony mají též ionizační schopnost – vyřazují elektrony z jiných atomů. Platí **Einsteinova rovnice pro fotoelektrický jev**:

$$h.f = E_b + 1/2m.v^2,$$

E_b je vazebná (ionizační) energie elektronu.

- Pravděpodobnost FE roste s protonovým číslem terčových atomů a klesá s rostoucí energií fotonů (tím se vysvětluje, proč jsou svazky fotonů rtg záření o vyšší energii více pronikavé a proč se pro stínění používá olovo).

Fotoelektrický jev



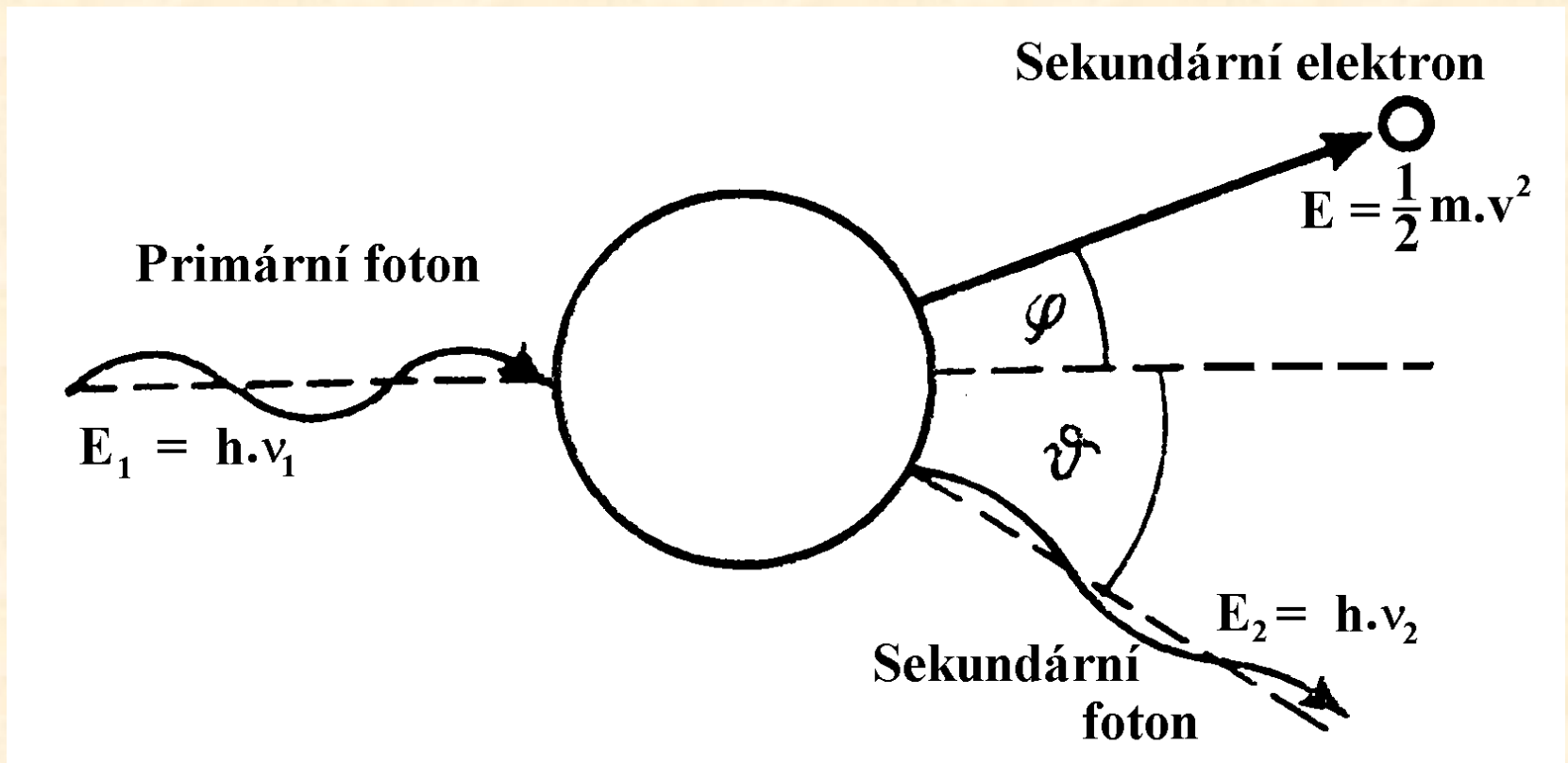
Interakce fotonů rtg záření s látkou: Comptonův ROZPTYL (CR)

- Při vyšších energiích fotonů jejich energie není plně absorbována – objevuje se foton s nižší energií. Vazebná energie elektronu E_b je zanedbatelná ve srovnání s energií fotonu. Můžeme napsat:

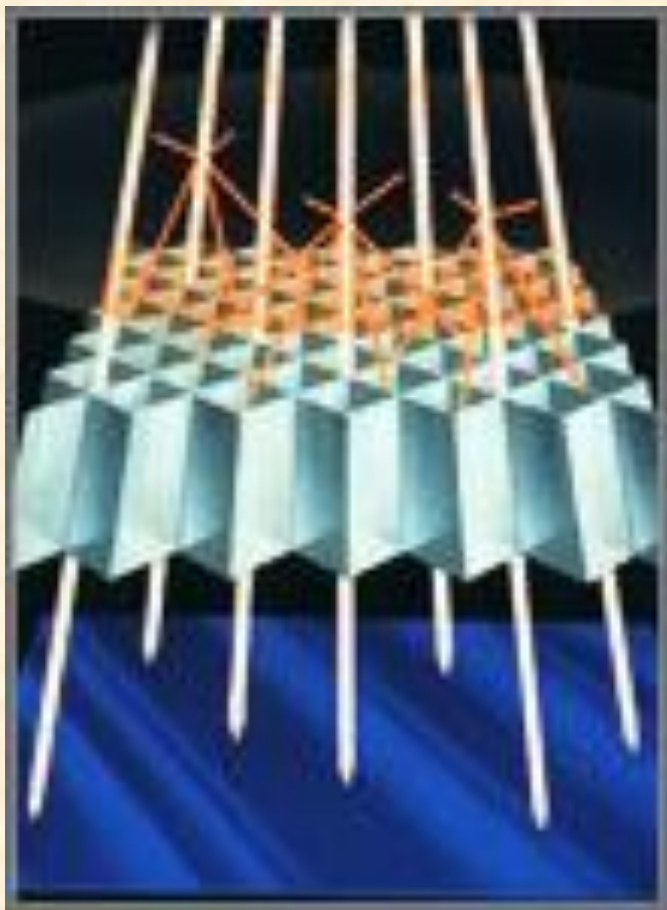
$$h.f_1 = (E_b) + h.f_2 + 1/2m.v^2,$$

- kde f_1 je frekvence dopadajícího fotonu a f_2 je frekvence rozptýlených fotonů.
- CR je pravděpodobnější než FE u primárních fotonů o energiích 0.5 - 5 MeV, což vysvětluje, proč by obrazy získané pomocí fotonů o takovéto energii byly prakticky nepoužitelné.

Comptonův rozptyl



Princip Buckyho Clony



<http://www.cwm.co.kr/pro213.htm>

Buckyho clona pohlcuje podstatnou část rozptýlených paprsků, avšak užitečným fotonům umožňuje projít. Bohužel však tato clona absorbuje i část užitečného záření. Proto je nutno zvýšit jeho intenzitu, aby byl vytvořený obraz kvalitní – takto se zvyšuje patientská dávka záření. Proto se např. Buckyho clona nepoužívá u malých dětí, u kterých je navíc intenzita rozptýleného záření nízká.

Použití kontrastních prostředků

- Hodnoty útlumu měkkých tkání se od sebe liší jen málo. Proto nemohou být na běžném snímku měkké tkáně rozlišený. Z tohoto důvodu se používají farmaka zvaná **kontrastní prostředky**.
- Útlum určité tkáně může být zvýšen nebo snížen. **Pozitivního kontrastu** dosahujeme pomocí látek s vyššími protonovými čísly, neboť se takto zvyšuje pravděpodobnost fotoelektrického jevu. Suspenze síranu barnatého, “baryová kaše”, se používá pro zobrazení a funkční vyšetření GIT. Při vyšetřování krevních cév, žlučových a močových cest aj. se používají látky s vyšším obsahem jodu.
- Duté vnitřní orgány můžeme zviditelnit pomocí **negativního kontrastu**. Používá se vzduch či lépe CO₂. Dutiny jsou naplněny plynem, nafouknuty, takže se zviditelní jako struktury o velmi nízkém útlumu (střeva, peritoneum, mozkové komory).

Pozitivní a negativní kontrast



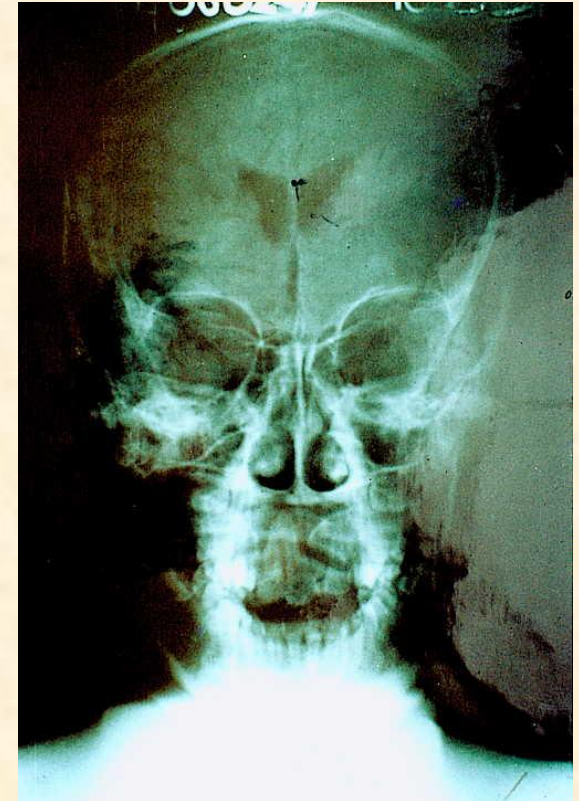
Kontrastní snímek apendixu
– divertikulóza – kombinace
pozitivního a negativního
kontrastu

<http://www.uhrad.com/ctarc/ct199b2.jpg>



Podkovovitá ledvina
– pozitivní kontrast

<http://www.uhrad.com/ctarc/ct215a2.jpg>



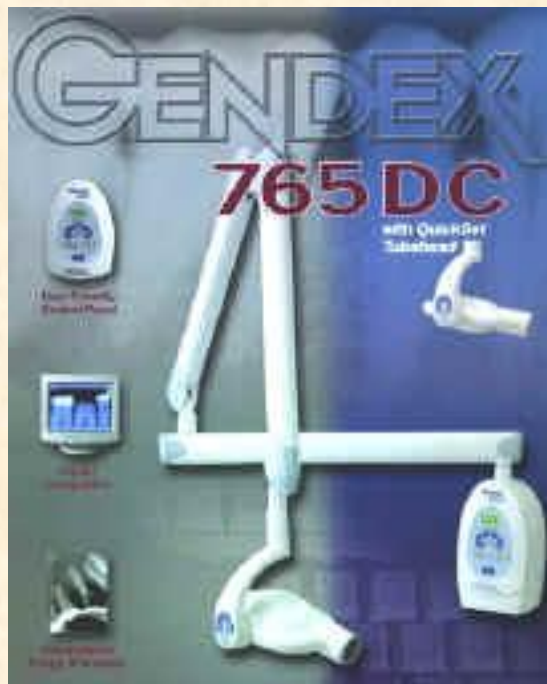
Pneumoencefalogram –
negativní kontrast

<http://anatomy.ym.edu.tw/Nevac/class/neuroanatomy/slide/k42.jpg>

Zubní rentgenové přístroje



Rentgenové přístroje v zubním lékařství



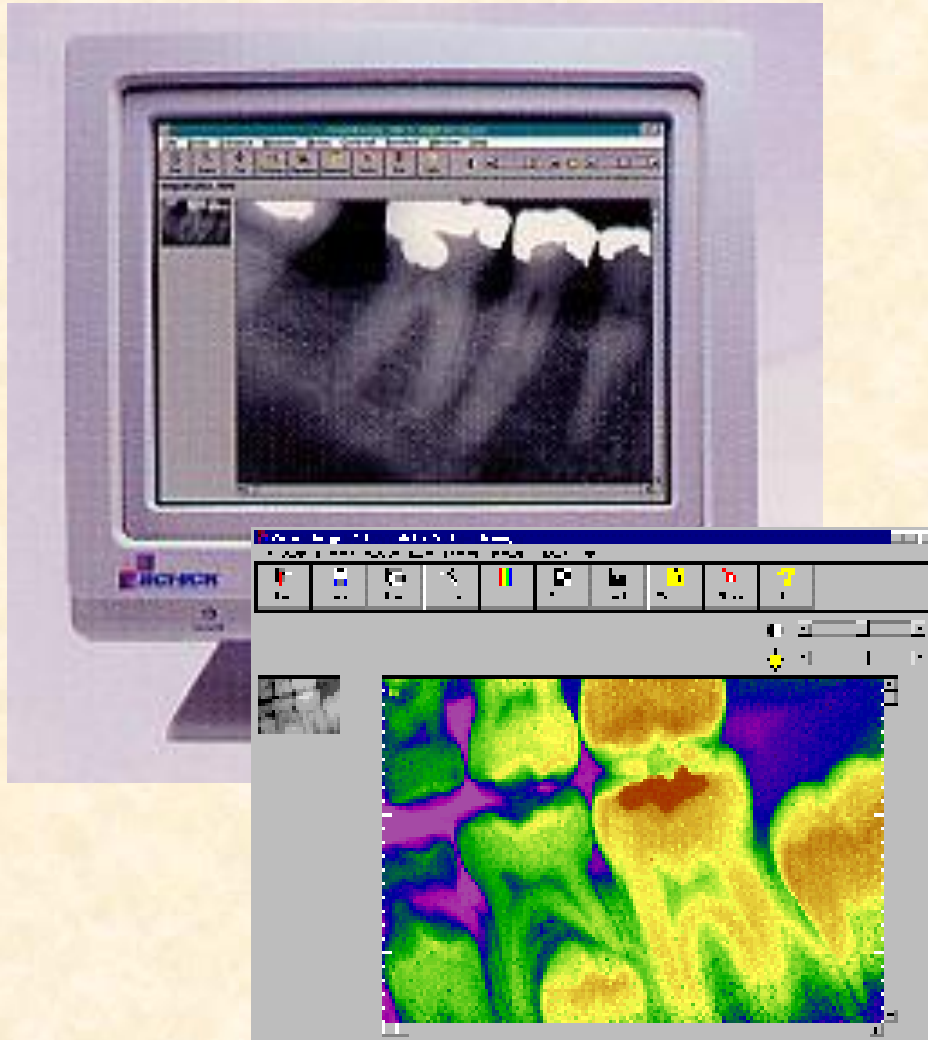
Snímek zubního implantátu

<http://www.gendexray.com/765dc.htm>

Panoramatické snímky

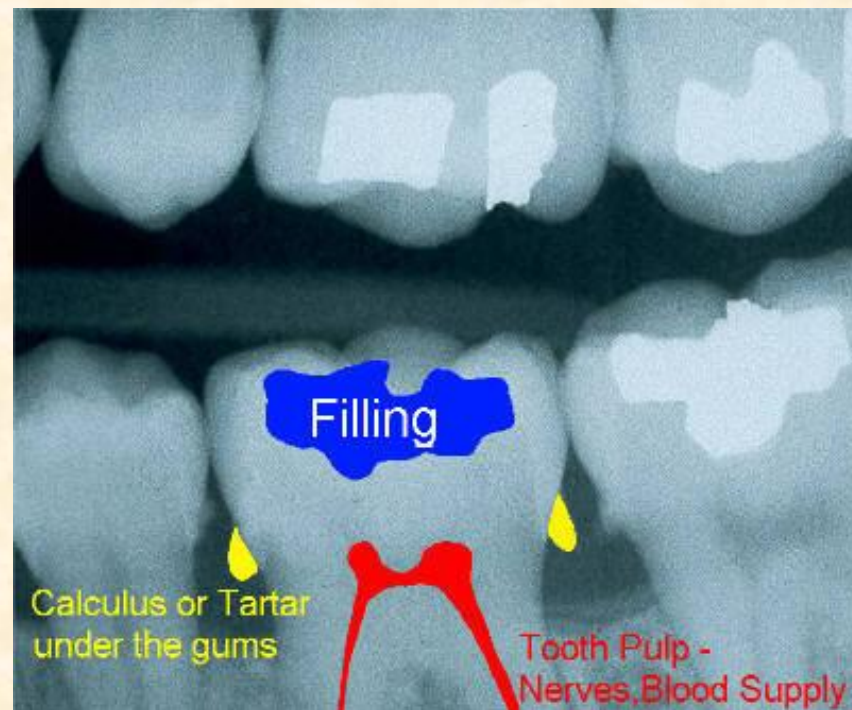
<http://www.gendexray.com/orthoralix-9000.htm>

Přímá digitální zubní radiografie



Obrázový detektor se skládá z matice fotodiod pokryté scintilační vrstvou. Nyní jsou dostupné bezdrátové detektory (užívají bluetooth nebo wifi).

Snímky jednotlivých zubů



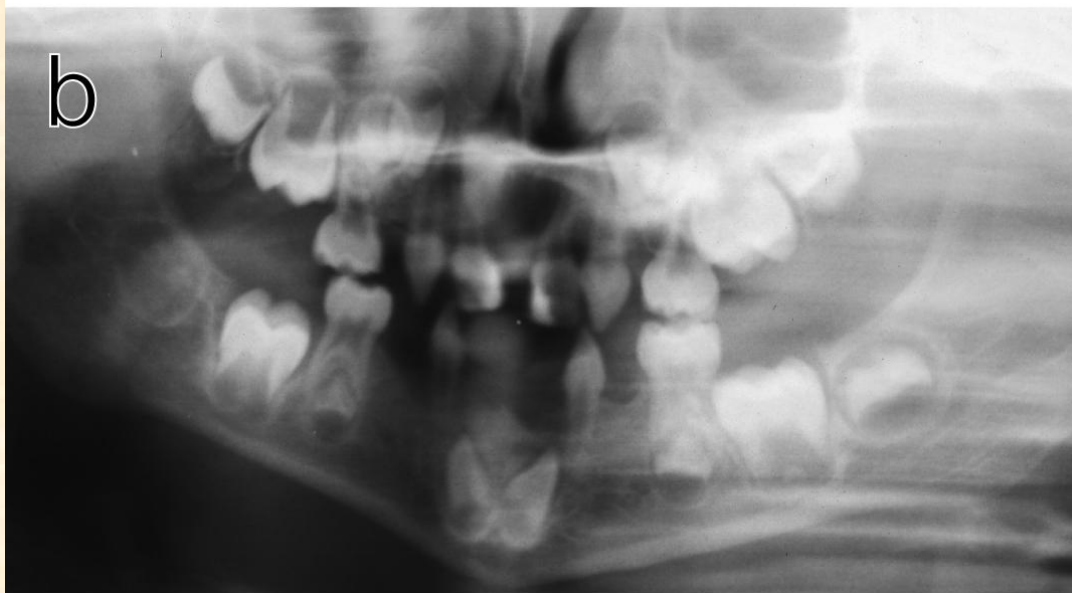
Lze rozlišit výplň, pulpu a zubní kámen

Ortopantomografická (OPG) jednotka



Panoramatický snímek získaný pomocí OPG





Poznámky k ochraně před zářením

- Nízká individuální ale vysoká kolektivní dávka, poměrně hodně mladých pacientů
- Ochrana očí a štítné žlázy (ocitají se někdy přímo ve svazku nebo blízko něj)
- Protože dávka a tím i riziko pro vyvíjející se plod je nízké, není těhotenství kontraindikací. Vyšetření musí být samozřejmě odůvodněné.
Dobrý odkaz:

- RP136 Evropská směrnice o radiační ochraně v dentální radiologii – Bezpečné použití radiografie v zubním lékařství. 2004. EU.

Optimalizace dávek u snímků jednotlivých zubů

- Přístroj
 - Rychlý film E nebo vyšší
 - Impulsní režim
 - Filtr: 1,5 mm Al až do 70kV pro redukci kožní dávky
 - Obdélníkový kolimátor doporučován (okrouhlý kolimátor by měl mít průměr svazku na výstupu menší než 60 mm)
 - Digitální snímače umožňují snížit dávku oproti filmu
- Protokol
 - Používání napětí 60kV v impulsním režimu
 - Minimální vzdálenost zdroje od kůže 200 mm (měl by to zajistit kónický nástavec – kolimátor)
 - Není nutno používat ochranné zástěry z olovnaté gumy (na ochranu gonád, s výjimkou vzácných případů) dokonce ani u těhotných pacientek (někdy se to dělá pro uspokojení pacientek)
 - Někdy je hlavně u mladých pacientů doporučován ochranný límec na štítnou žlázu

Optimalizace dávek při panoramatickém snímkování (OPG)

- Přístroj:
 - CP generatory
 - Používán kazet s velmi citlivými fluorescenčními stínítky
 - Automatická kontrola expozice
- Protokol:
 - Správné umístění a imobilizace pacienta snižuje počet opakování (např. při OPG brada spočívá na plastové podložce, hlavu drží plastová sluchátka aj.)
 - Omezení ozařovaného pole
 - Ochrana štítné žlázy při OPG překáží svazku (často je však nutná při cephalmetrii)

Jednoduchý
nástavec pro
přeměnu
okrouhlého
kolimátoru/kónic-
kého nastavce na
obdélníkový

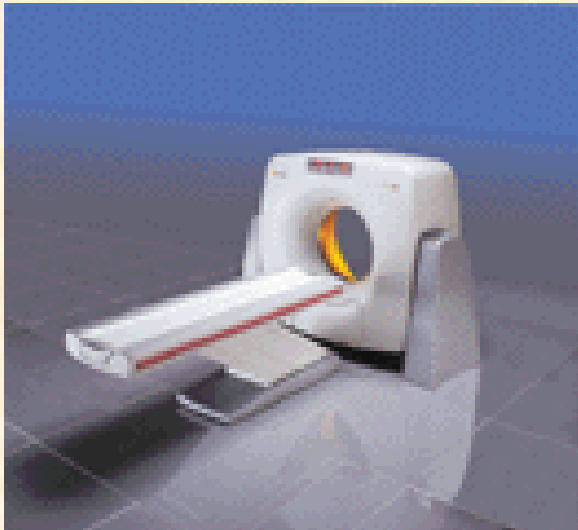


DENTSPLY's Rinn
Universal Collimator

Výpočetní tomografie – CT

(Computerised Tomography)

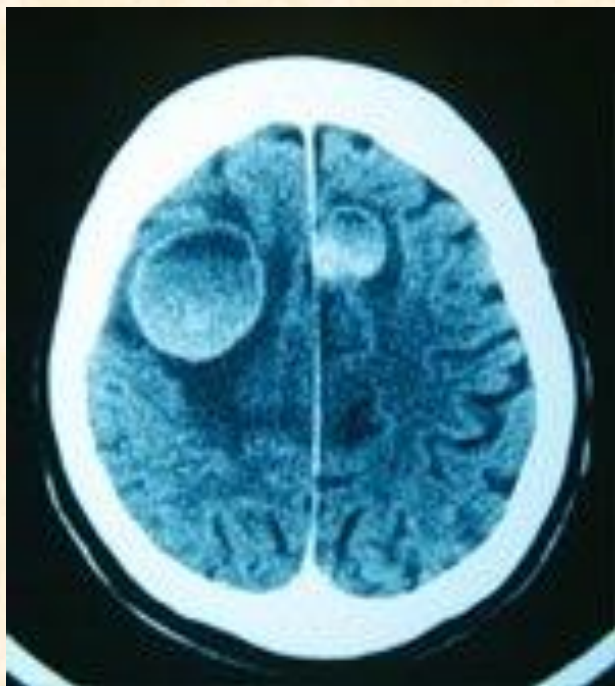
- První pacient byl vyšetřen touto metodou v Londýně v r. 1971.
- Zařízení bylo vynalezeno anglickým fyzikem Hounsfieldem (společně s Američanem Cormackem Nobelova cena za medicínu v r. 1979)



Princip CT

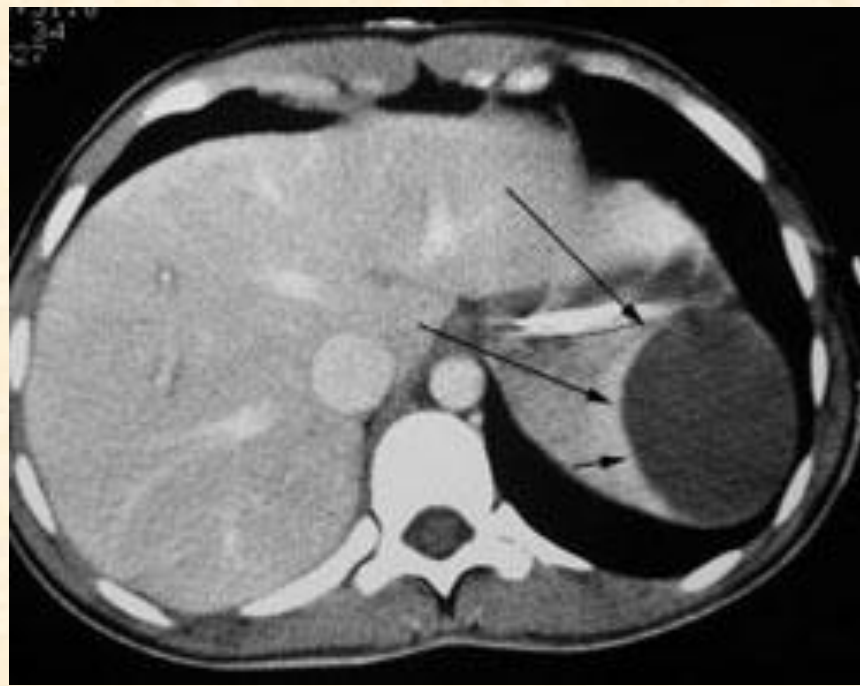
- Princip: Výpočetní tomograf je velký přístroj pro měření útlumu rtg záření v jednotlivých voxelech (objemových analogiích pixelů) v tenkých plátcích tkání.
- Metoda měření: Svazek rentgenového záření ve tvaru tenkého vějíře prochází tělem a je měřen obloukem detektorů. Toto se opakuje pod různými úhly tak dlouho, dokud se neshromáždí dostatek informace pro výpočet koeficientů útlumu ve voxelech odpovídajícího řezu tělem pacienta. Vypočte se „mapa“ útlumu v příčném řezu - tomogram.

Příklady výpočetních tomogramů



Metastatické léze v mozku

<http://www.mc.vanderbilt.edu/vumcdept/emergency/mayxr3.html>



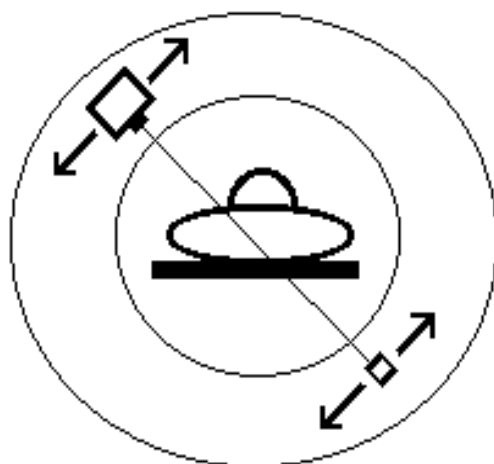
Rozsáhlý subkapsulární hematom sleziny u pacienta po autonehodě

<http://www.mc.vanderbilt.edu/vumcdept/emergency/apr7xr1a.html>

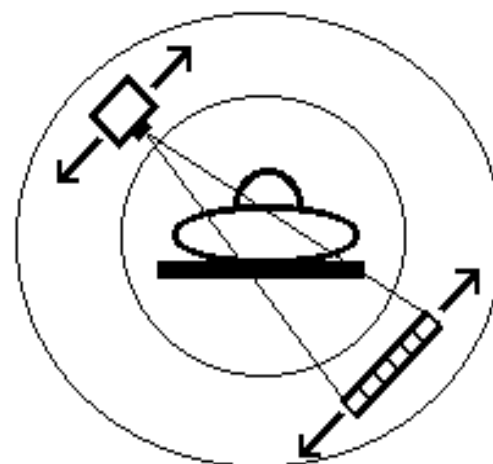
Výhody CT oproti projekčnímu rtg zobrazení

- Mnohem vyšší kontrast než u projekčního rtg zobrazení – 0,5% rozdíly v útlumu mohou být rozlišeny, protože:
 - je téměř úplně eliminován vliv rozptylu,
 - měření rtg záření probíhá pod mnoha různými úhly.
- Z toho plyne, že můžeme vidět a vyšetřovat různé měkké tkáně.
- Anatomické struktury se vzájemně nepřekrývají.
- Díky měření z mnoha stran dochází k menšímu zkreslení.

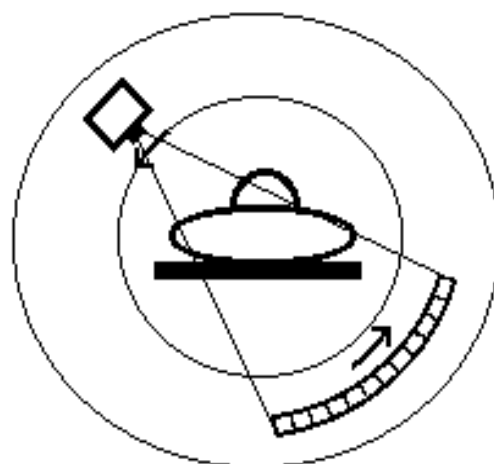
Čtyři generace CT



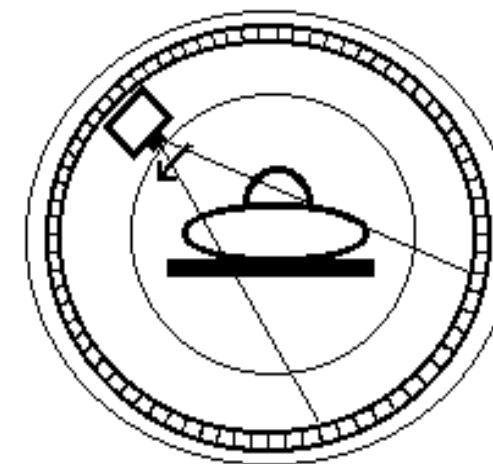
1. GENERACE



2. GENERACE



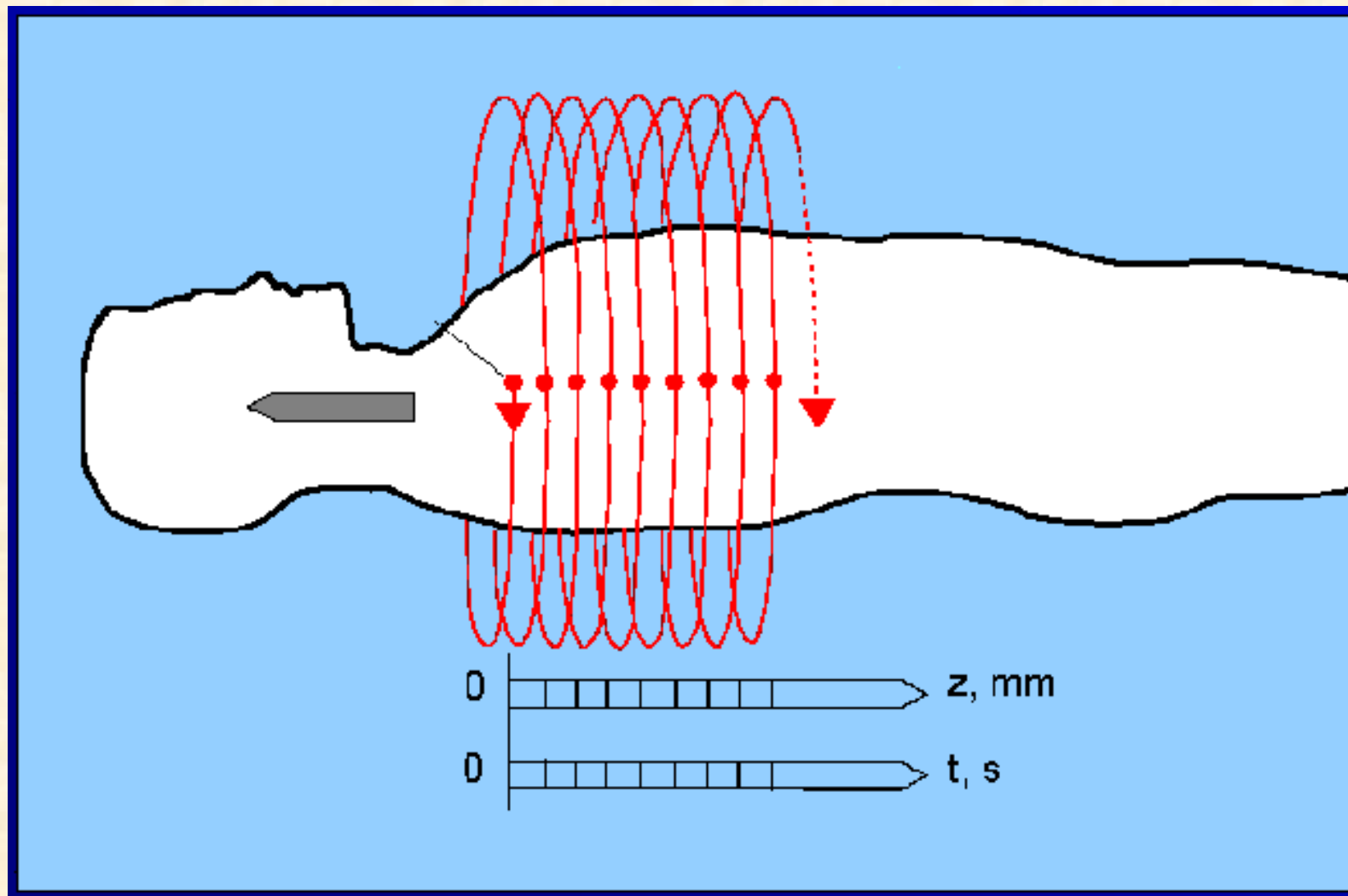
3. GENERACE



4. GENERACE

Princip spirálního (3D) CT

Rentgenka a detektory se otáčejí kolem posunujícího se pacienta.



Hounsfieldova (CT) čísla

Pro zjednodušení výpočtů používáme Hounsfieldovu stupnici jednotek (HU) pro velikost útlumu.

V této zjednodušené stupnici má voda 0 HU, vzduch -1000 HU a kompaktní kost přibližně +1000 HU.

Stupnice 2000 HU je k dispozici pro CT vyšetření tělesných tkání. Ve většině případů nemá smysl přiřezovat je všem úrovním stupnice šedi (naše oko je schopno rozlišit pouze asi 250 úrovní šedi). Většina měkkých tkání má hodnoty HU v rozmezí od 0 do +100. Proto v praxi používáme omezené „diagnostické okno“ těchto jednotek, např. od -100 do +100.

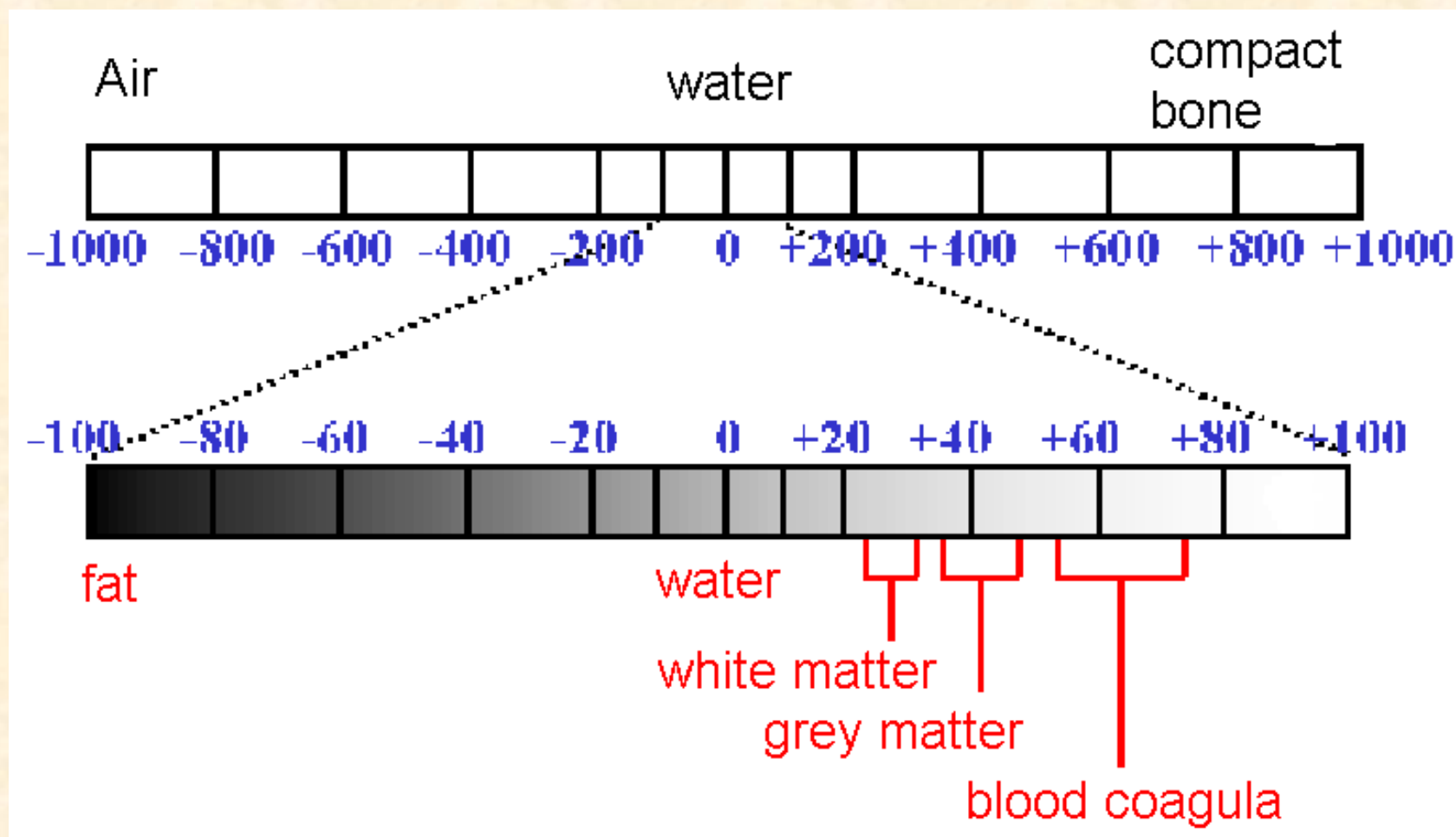
$$HU = \frac{\mu_T - \mu_W}{\mu_W} \cdot k$$

W – voda

T – tkáň

$k = 1000$

„Diagnostic window“ stupnice HU



Dentální CT



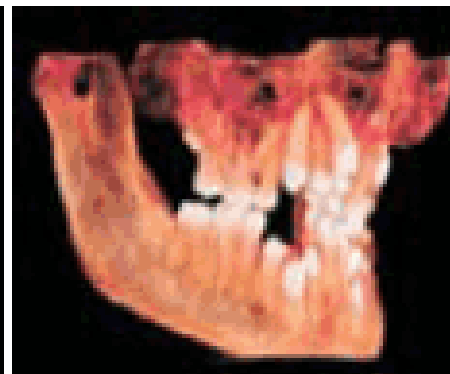
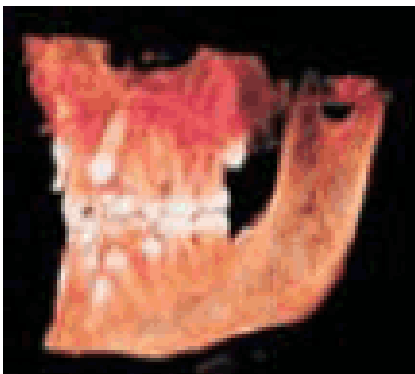
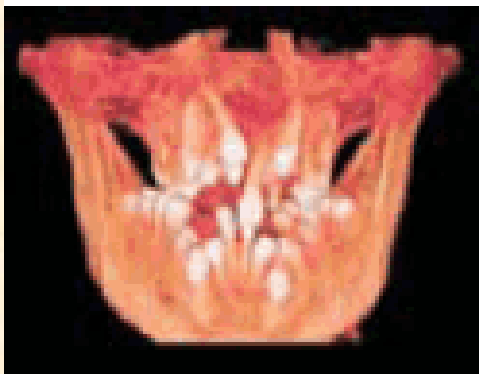
- dentální CT i-CAT Platinum.

CT snímek ústní dutiny

a, b



c, d, e



Porovnání dávek ionizujícího záření

- Klasické CT hlavy (mozek) 2 mSv
- Klasický RTG snímek hlavy 0,02 mSv
- OPG (ortopantomografická jednotka)
0,02mSv
- Intraorální snímek 0,005 mSv
- Běžná dávka 3-4 mSv za rok

MRI



NMR koleno



NMR hlava



cs.wikipedia.org



Autoři:

Prof. Vojtěch Mornstein

Mgr. Naděžda Vaškovická